СПИСОК ЛИТЕРАТУРЫ

[1] Галкин С. Л., Львов Б. В., Николаев В. М. В кн.: Квантовая электроника. Труды ЛПИ им. М. И. Калинина, 1975, № 344, с. 3. [2] Кружалов С. В., Львов Б. В. Там же, 1982, № 387, с. 8. [3] Львов Б. В., Николаев В. М., Самусев К. Б. Там же, 1982, № 387, с. 14. [4] Киігепда D. J., Sіедтап А. Е. ІЕЕЕ J. Quant. Electr., QE-6, 1970, р. 694. [5] Коваленко Е. С., Мандель А. Е. Журн. прикл. спектр., 1980, 33, с. 828. [6] Галкин С. Л. и др. Письма в ЖТФ, 1976, 2, с. 150. [7] Гончарова И. Ф. и др. Квант. электроника, 1981, 8, с. 1347. [8] Кориненко Л. С., Ларионцев Е. Г., Сидоров В. А. Там же, 1980, 7, с. 1213.

Поступила в редакцию 06.05.85

ВЕСТН. МОСК. УН-ТА. СЕР. 3. ФИЗИКА. АСТРОНОМИЯ, 1986, Т. 27, № 4

УДК 535.375:621.3

КОГЕРЕНТНЫЕ ЭФФЕКТЫ В СПЕКТРОСКОПИИ НАСЫЩЕНИЯ

С. Ю. Никитин

(кафедра общей физики и волновых процессов)

1. Введение. Известен метод диагностики сред, возбужденных резонансным оптическим излучением, путем зондирования относительно слабой («пробной») световой волной [1, 2], в частности метод активной спектроскопии комбинационного рассеяния (АСКР) [3, 4]. При использовании этого метода следует иметь в виду, что возможны специфические «когерентные эффекты», связанные с возмущением населенностей исследуемых квантовых уровней под действием пробной волны. Применительно к комбинационно-активным переходам такие эффекты впервые рассматривались в работе [5]. Однако расчеты, выполненные в [5], не точны, вследствие чего нуждаются в уточнении и некоторые выводы физического характера. В настоящей работе проведен более точный анализ когерентных эффектов в спектроскопии насыщения КР.

Отметим, что проблема отыскания отклика двухуровневой системы, возбужденной сильным резонансным полем, на слабое зондирующее поле неоднократно обсуждалась ранее. При этом в качестве двухуровневой системы рассматривались магнитодипольный [6] и электродипольный [2, 7] переходы. Эффекты, связанные с неоднородным (доплеровским) ущирением, исследованы в [1, 2, 5].

2. Основные уравнения. Состояние двухуровневой комбинационно-активной среды будем описывать уравнениями [8]

$$\frac{dn}{dt} + \frac{n - n_0}{T_1} = -\frac{\alpha'}{n\omega_0} E^2 \frac{dQ}{dt},$$

$$\frac{d^2Q}{dt^2} + \frac{2}{T_2} \frac{dQ}{dt} + \omega_0^2 Q = \frac{\alpha'}{2M} E^2 n,$$
(1)

где n — разность населенностей, Q — колебательная координата, E — электрическое поле световых волн. Пусть на среду воздействуют две пары волн:

$$E = \frac{1}{2} \left(A_1 e^{i\omega_1 t} + A_2 e^{i\omega_2 t} + \kappa. \ c. \right) + \frac{1}{2} \left(A_1' e^{i\omega_1' t} + A_2' e^{i\omega_2' t} + \kappa. \ c. \right), \tag{2}$$

причем $\omega_1 - \omega_2 \approx \omega_0$, $\omega_1' - \omega_2' \approx \omega_0$. Полагая в (1)

$$Q = \frac{1}{2} q \exp(i\omega_0 t) + \kappa. c.$$
 (3)

и считая для простоты, что $\omega_1 \neq \omega_1'$, $\omega_2 \neq \omega_2'$, получим следующие укороченные уравнения для n и q:

$$\frac{dq}{dt} + \frac{q}{T_{,2}} = \gamma_q \left(A_0 e^{i\delta t} + A_{\pi} e^{i\delta' t} \right) n,$$

$$\frac{dn}{dt} + \frac{n - n_0}{T_1} = \gamma_n \left[\left(A_0 e^{i\delta t} + A_{\pi} e^{i\delta' t} \right) q^* - \kappa. \text{ c.} \right],$$
(4)

где

$$A_{0} = A_{1}A_{2}^{*}, A_{\pi} = A_{1}'A_{2}'^{*}, \delta = \omega_{1} - \omega_{2} - \omega_{0},$$

$$\delta' = \omega_{1}' - \omega_{2}' - \omega_{0}, \gamma_{q} = \alpha'/(4iM\omega_{0}), \gamma_{n} = i\alpha'/(4\hbar).$$
(5)

Уравнения (4) аналогичны уравнениям, описывающим магнитодипольный [6] или электродипольный [7] переход в двухчастотном внешнем поле.

3. Приближение слабой пробной волны. Поскольку записать общее решение уравнений (4) не представляется возможным, ограничимся случаем слабых пробных волн, когда $|A_n/A_0| = \varepsilon \ll 1$. Будем искать стационарное решение в виде ряда теории возмущений по степеням ε :

$$q = Q_{0}e^{i\delta t} + Q'_{0}e^{i\delta' t} + Q'_{1}e^{i(2\delta - \delta')t} + \dots,$$

$$n = n^{(0)} + \frac{\widetilde{n}_{0}}{2}e^{i(\delta - \delta')t} + \frac{\widetilde{n}_{0}^{*}}{2}e^{-i(\delta - \delta')t} + \dots,$$
(6)

где постоянные Q_0 и $n^{(0)}$ порядка ε^0 , а постоянные Q_0' , Q_1' , \tilde{n}_0 — порядка ε . Отметим, что решение (6) аналогично решениям, представленным в [2, 7], однако отличается от данного в [5], где не учитывалось слагаемое

$$Q_1' \exp\left[i(2\delta - \delta')t\right] \tag{7}$$

в выражении для q. Ниже будет показано, что это приводит к существенному отличию результатов.

Подставляя (6) в (4) и пренебрегая слагаемыми порядка ε^2 , ε^3 , ..., получим следующие алгебраические уравнения:

$$\begin{cases} (i\delta + 1/T_2) Q_0 = \gamma_q A_0 n^{(0)}, \\ (i\delta' + 1/T_2) Q_0' = \gamma_q (A_0 \widetilde{n}_0^* / 2 + A_n n^{(0)}), \\ [i (2\delta - \delta') + 1/T_2] Q_1' = \gamma_q A_0 \widetilde{n}_0 / 2, \end{cases}$$
(8)

$$\begin{cases}
\frac{n^{(0)} - n_0}{T_1} = \gamma_n (A_0 Q_0^* - A_0^* Q_0), \\
[i (\delta - \delta') + 1/T_1] \widetilde{n}_0 / 2 = \gamma_n (A_0 Q_0^{'*} - A_n^* Q_0 - A_0^* Q_1^{'}), \\
[-i (\delta - \delta') + 1/T_1] \widetilde{n}_0^* / 2 = \gamma_n (A_n Q_0^* + A_0 Q_1^{'*} - A_0^* Q_0^{'}).
\end{cases} \tag{9}$$

Нетрудно найти решения уравнений (8), (9) в нулевом и первом порядках теории возмущений.

4. **Нулевое приближение.** Система уравнений для Q_0 и $n^{(0)}$ является замкнутой. Ее решение имеет вид

$$n^{(0)} = \frac{n_0}{1 + G/(1 + \Lambda^2)}, \quad Q_0 = \frac{\gamma_0 T_2}{1 + i\Lambda} A_0 n^{(0)}, \tag{10}$$

где

$$G = \alpha |A_0|^2, \ \alpha = 2\gamma_n \gamma_q T_1 T_2,$$
 (11)

G — параметр насыщения. Формулы (10), (11) хорошо известны (см., например, [9, 5, 10]). Они описывают стационарное состояние среды, возникающее под действием одной сильной пары волн A_0 .

Первое приближение. Решая (8), (9) с учетом (10), (11), най-

дем

$$\frac{\tilde{n}_{0}^{*}}{2} = \frac{-\frac{\alpha}{2} n^{(0)} \left(\frac{1}{1-i\Delta} + \frac{1}{1+i\Delta'}\right) A_{0}^{*} A_{\Pi}}{1-i \left(\Delta - \Delta'\right) \frac{T_{1}}{T_{2}} + \frac{G}{2} \left[\frac{1}{1+i\Delta'} + \frac{1}{1-i \left(2\Delta - \Delta'\right)}\right]}$$

$$Q_{0}^{'} = \frac{\gamma_{q} T_{2}}{1+i\Delta'} A_{\Pi} n^{(0)} \left\{ \frac{1-i \left(\Delta - \Delta'\right) \frac{T_{1}}{T_{2}} + \frac{G}{2} \left[\frac{1}{1-i \left(2\Delta - \Delta'\right)} - \frac{1}{1-i\Delta}\right]}{1-i \left(\Delta - \Delta'\right) \frac{T_{1}}{T_{2}} + \frac{G}{2} \left[\frac{1}{1-i \left(2\Delta - \Delta'\right)} + \frac{1}{1+i\Delta'}\right]} \right\}. (12)$$

$$Q_{1}^{'} = \frac{\gamma_{q} T_{2}}{1+i \left(2\Delta - \Delta'\right)} A_{0} \frac{\tilde{n}_{0}}{2}, \ \Delta = \delta T_{2}, \ \Delta' = \delta' T_{2}.$$

6. Расчет сигнала АСКР. В схеме АСКР измеряется интенсивность антистоксова рассеяния пробной волны (например, A_1') на когерентных молекулярных колебаниях. При попутном распространении всех волн, пренебрегая изменением светового поля (2) в процессе взаимодействия, а также волновой расстройкой, для амплитуды антистоксова излучения можно записать $A_a = \gamma_a z A_1' q$, где $\gamma_a - \kappa$ коэффициент нелинейной связи, $z - \kappa$ длина области взаимодействия. Подставляя в эту формулу выражение для q (6), получим

$$A_{a} = \gamma_{a} z A_{1}' (Q_{0} e^{i\delta t} + Q_{0}' e^{i\delta' t} + Q_{1}' e^{i(2\delta - \delta')t}). \tag{13}$$

Согласно (13), антистоксово излучение содержит три спектральные компоненты с частотами

$$\begin{split} \omega_{a1} &= \omega_{1}' + \omega_{0} + \delta, \\ \omega_{a2} &= \omega_{1}' + \omega_{0} + \delta' = \omega_{a1} + (\delta' - \delta), \\ \omega_{a3} &= \omega_{1}' + \omega_{0} + (2\delta - \delta') = \omega_{a1} - (\delta' - \delta); \end{split} \tag{14}$$

при этом компонента с частотой ω_{a1} является центральной, а компоненты с частотами ω_{a2} и ω_{a3} сдвинуты относительно нее по оси частот на $\delta' - \delta$ соответственно вправо и влево. При $\delta' = \delta$ частоты всех трех компонент совпадают.

Интенсивности компонент запишем в виде

$$I_{a1} = \beta |Q_0|^2, \ I_{a2} = \beta |Q_0'|^2, \ I_{a3} = \beta |Q_1'|^2,$$
 (15)

где $\beta = (cn/(8\pi)) |\gamma_a z A_1'|^2$, а величины Q_0 , Q_0' , Q_1' определяются формулами (10) - (12). Как видно из этих формул, в рассматриваемом нами приближении $e \ll 1$ центральная компонента с частотой ω_{a1} явля-

ется наиболее интенсивной: $I_{a1}\gg I_{a2}$, I_{a3} . Соотношение интенсивностей I_{a2} и I_{a3} , вообще говоря, зависит от величин параметров G, Δ , Δ' . Если возбуждающее излучение настроено точно в резонанс с переходом ($\Delta=0$), то, согласно (10)—(12), (15).

$$\frac{I_{\text{a3}}}{I_{\text{a2}}} = \frac{|Q_1'|^2}{|Q_0'|^2} = \frac{(1 + {\Delta'}^2/4) G^2}{\left(1 - {\Delta'}^2 \frac{T_1}{T_2}\right)^2 + \left(1 + \frac{T_1}{T_2} - \frac{G}{2}\right)^2 {\Delta'}^2}$$

Далее возможны различные варианты: при малой отстройке Δ' и сильном насыщении $(G\gg 1)$ получим $I_{a3}\gg I_{a2}$; если же отстройка Δ' велика, а насыщение слабое, то, наоборот, $I_{a3}\ll I_{a2}$ (рис. 1, 2).

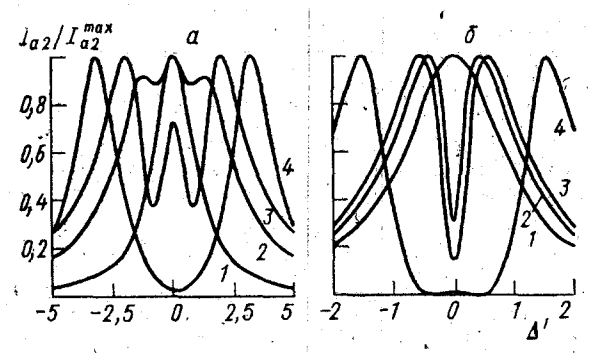
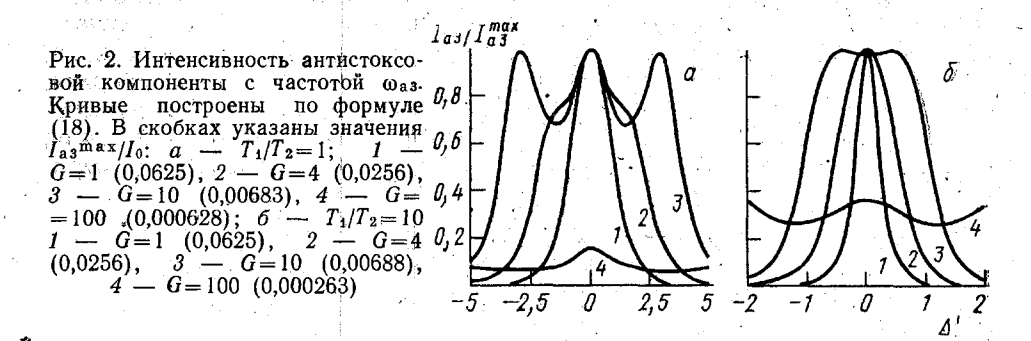


Рис. 1. Интенсивность антистоксовой компоненты с частотой ω_{a2} в зависимости от разности частот зондирующих волн $\Delta'==(\omega_1'-\omega_2'-\omega_0)T_2$. Кривые построены по формуле (16), в скоб-ках указаны значения $I_{a2}^{\max X/I_0}$, соответствующие различным кривым: $a-T_1/T_2=1$; I-G=0 (1), 2-G=1 (0,0625), 3-G=2 (0,017), 4-G=10 (0,00315); $6-T_1/T_2=10$; 1-G=0 (1), 2-G=1 (0,2), 3-G=2 (0,08), 4-G=20 (0,00118)



Остановимся коротко на механизмах генерации антистоксова излучения. Из уравнений (8) для Q_0 , Q_0' , Q_1' непосредственно видно, что генерация антистоксовых компонент обусловлена двумя различными механизмами. Первый из них («механизм 1») — это обычный механизм, не связанный с воздействием пробной волны на разность населенностей. Второй («механизм 2») обусловлен осцилляциями n под действием пробной волны и исчезает при $\tilde{n}_0 = 0$. В генерацию антистоксовой компоненты с частотой ω_{a1} дает вклад только механизм 1, компоненты ω_{a2} — оба механизма 1 и 2, компоненты ω_{a3} — только механизм 2. Таким образом, регистрация антистоксова излучения на частоте ω_{a3} может служить прямым доказательством наличия когерентного процесса с участием осцилляций разности населенностей, наведенных слабым зондирующим полем.

7. Условия синхронизма. Для изотропных комбинационно-активных сред нелинейная поляризация описывается выражением $P_{\rm нл} = N\alpha' QE$, где N — число молекул в 1 см³ [8]. Используя выражения (2), (3),

(5), (6), (10)—(12) и полагая $A_j = a_j \exp(-i\mathbf{k}_j\mathbf{r})$, $A_j' = a_j' \exp(-i\mathbf{k}_j'\mathbf{r})$ (j=1,2), нетрудно показать, что антистоксовы компоненты на частотах ω_{a1} , ω_{a2} , ω_{a3} будут иметь волновые векторы $\mathbf{k}_{a1} = \mathbf{k}_1' + \mathbf{k}_0$, $\mathbf{k}_{a2} = \mathbf{k}_1' + \mathbf{k}_0'$, $\mathbf{k}_{a3} = \mathbf{k}_1' + 2\mathbf{k}_0 - \mathbf{k}_0'$, где $\mathbf{k}_0 = \mathbf{k}_1 - \mathbf{k}_2$, $\mathbf{k}_0' = \mathbf{k}_1' - \mathbf{k}_2'$. Эти формулы показывают, что при попутном распространении условия синхронизма $\mathbf{k}_a = \omega_a n_a/c$ выполняются для всех трех антистоксовых компонент (дисперсией среды пренебрегаем). При этом интенсивности волн описываются формулами (15). Если же волны с частотами ω_1 и ω_2 направлены навстречу друг другу (как в эксперименте [3]), то условия синхронизма для компонент с частотами ω_{a1} и ω_{a3} не выполняются, и будет наблюдаться только антистоксова компонента с частотой ω_{a2} .

8. Эффект компенсации. Согласно формулам (8) и (15),

$$I_{a2} = \beta \left[\frac{\gamma_0 T_2}{1 + i\Delta'} \left(A_n n^{(0)} + A_0 \frac{\tilde{n}_0^*}{2} \right) \right]^2,$$

т. е. световая волна на частоте ω_{a2} возникает в результате интерференции вкладов, обусловленных механизмами 1 и 2. В случае точного резонанса $\Delta = \Delta' = 0$ учет только первого механизма дает

$$Q'_{0(1)} = \gamma_a T_2 A_n n^{(0)}, \ I^{(1)}_{a2} = \beta |\gamma_a T_2 A_n n^{(0)}|^2$$

в то время как с учетом обоих механизмов (см. (12)) получаем

$$Q_0 = \frac{\gamma_q T_2 A_{\Pi} n^{(0)}}{1+G}, I_{a2} = \beta \left| \frac{\gamma_q T_2 A_{\Pi} n^{(0)}}{1+G} \right|^2.$$

Отсюда следует, что при сильном насыщении ($G\gg 1$)

$$I_{a2} = I_{a2}^{(1)}/(1+G)^2 \ll I_{a2}^{(1)},$$

т. е. действие обоих механизмов взаимно компенсируется. Этот эффект, который можно назвать «эффектом компенсации», был впервые указан Ю. Е.-Дьяковым [11]. Заметим, что формулы, полученные в работе [5], не описывают эффект компенсации из-за того, что использованное в этой работе представление для q не является полным.

9. Частотная зависимость интенсивности антистоксовых компонент. Если излучение, насыщающее переход, отсутствует, т. е. G=0, то, как видно из (10)-(12), (15), $I_{a3}=0$, $I_{a2}=I_0/(1+\Delta'^2)$. Таким образом, в отсутствие насыщения антистоксова компонента с частотой ω_{a3} не возбуждается вовсе, а зависимость $I_{a2}(\Delta')$ имеет обычный лоренцевский вид. Нормировочная интенсивность $I_0=\beta |\gamma_q T_2 A_n n_0|^2$ совпадает с I_{a2} при G=0 и $\Delta'=0$.

Используя формулы (12) и (15), общее выражение для $I_{\rm a2}$ можно записать в виде

$$\begin{split} I_{a2}/I_0 &= \left[(1+G)^2 \, (1+\Delta'^2) \right]^{-1} \times \\ &\left\{ 1 + \frac{G}{2} \left[\frac{1}{1+(2\Delta-\Delta')^2} - \frac{1}{1+\Delta^2} \right] \right\}^2 + \\ &\times \frac{+ \left\{ - (\Delta-\Delta') \, \frac{T_1}{T_2} + \frac{G}{2} \left[\frac{2\Delta-\Delta'}{1+(2\Delta-\Delta')^2} - \frac{\Delta}{1+\Delta^2} \right] \right\}^2}{\left\{ 1 + \frac{G}{2} \left[\frac{1}{1+(2\Delta-\Delta')^2} + \frac{1}{1+\Delta'^2} \right] \right\}^2 + \\ &+ \left\{ - (\Delta-\Delta') \, \frac{T_1}{T_2} + \frac{G}{2} \left[\frac{2\Delta-\Delta'}{1+(2\Delta-\Delta')^2} - \frac{\Delta'}{1+\Delta'^2} \right] \right\}^2 \end{split}$$

В частном случае $\Delta = 0$ эта формула принимает вид

$$\frac{I_{22}}{I_0} = \frac{1}{(1+G)^2(1+{\Delta'}^2)} \cdot \frac{\left(1-\frac{G}{2}\cdot\frac{{\Delta'}^2}{1+{\Delta'}^2}\right)^2+\left(\frac{T_1}{T_2}-\frac{G}{2}\frac{1}{1+{\Delta'}^2}\right)^2{\Delta'}^2}{\left(1+\frac{G}{1+{\Delta'}^2}\right)^2+\left(\frac{T_1}{T_2}-\frac{G}{1+{\Delta'}^2}\right)^2{\Delta'}^2}$$

или

$$\frac{I_{a2}}{I_0} = \frac{1}{(1+G)^2 (1+\Delta'^2)} \cdot \frac{\left(1 - \frac{G}{2} + \frac{T_1}{T_2}\right)^2 \Delta'^2 + \left(1 - \frac{T_1}{T_2}\Delta'^2\right)^2}{\left(G + 1 - \frac{T_1}{T_2}\Delta'^2\right)^2 + \left(1 + \frac{T_1}{T_2}\right)^2 \Delta'^2}.$$
 (16)

Графики зависимости $I_{a2}(\Delta')$, построенные по формуле (16) для различных значений T_1/T_2 и параметра насыщения G, показаны на рис. 1. Видно, что при G=0 «активный спектр» имеет обычную лоренцевскую форму и ширину $\Delta\omega=2/T_2$. При увеличении параметра насыщения в центре линии появляется провал, ширина которого при G=1 значительно меньше, чем $\Delta\omega$ (см. рис. 1, δ), и пропорциональна T_1^{-1} , т. е. определяется временем релаксации населенностей. При дальнейшем увеличении G спектральная линия расщепляется на две компоненты, симметрично расположенные относительно $\Delta'=0$; положение боковых максимумов можно приближенно найти по формуле

$$\Delta_{\text{max}} = \sqrt{\frac{G+1}{T_1/T_2}}.$$
 (17)

На существование провала с типриной порядка T_1^{-1} в зависимости $I_{a2}(\Delta')$ было впервые указано в работе [5]. Однако в [5] утверждалось, что провал максимально выражен при G=2, а при дальнейшем увеличении G глубина провала уменьшается. В действительности же, как видно из рис. 1, глубина и ширина провала возрастают с увеличением G. Это различие результатов связано с тем, что в [5] не было учтено слагаемое (7) в выражении для когерентной амплитуды q (см. формулу (6) настоящей работы). Отметим, что для однофотонного однородно уширенного перехода появление узкого провала в линии поглощения пробной волны, вызванного осцилляциями населенностей уровней под действием возбуждающего и пробного полей, было теоретически предсказано в [12] и экспериментально наблюдалось в [13]. Теория этого эффекта в терминах нелинейной оптической восприимчивости развита в [14].

Общее выражение для интенсивности антистоксовой компоненты с частотой ω_{a3} можно получить, используя формулы (12) и (15). В частном случае $\Delta=0$ (излучение, насыщающее переход, настроено точно в резонанс) это выражение принимает вид

$$\frac{I_{a3}}{I_0} = \left(\frac{G}{G+1}\right)^2 \left(\frac{1+{\Delta'}^2/4}{1+{\Delta'}^2}\right) \cdot \frac{1}{(G+1-(T_1/T_2){\Delta'}^2)^2 + (1+T_1/T_2)^2 {\Delta'}^2}. \quad (18)$$

Графики зависимости $I_{a3}(\Delta')$, построенные по этой формуле для разных значений параметров T_1/T_2 и G, представлены на рис. 2. Отметим, что интенсивность I_{a3} немонотонно зависит от G: в частности, при $\Delta = \Delta' = 0$ $I_{a3}/I_0 = G^2/(1+G)^4$. Положение боковых максимумов можно оценить по формуле (17).

Автор благодарен Ю. Е. Дьякову и Н. И. Коротееву за обсужде-

ние результатов работы.

СПИСОК ЛИТЕРАТУРЫ

[1] Летохов В. С., Чеботаев В. П. Принципы нелинейной лазерной спектроскопии. М.: Наука, 1975. [2] Раутиан С. Г., Смирнов Г. И., Шалагин А. М. Нелинейные резонансы в спектрах атомов и молекул. Новосибирск: Наука, 1979. [3] Бродниковский А. М., Задков В. Н., Каримов М. Г., Коротеев Н. И. Опт. и спектр., 1983, 54, с. 385. [4] Бродниковский А. М., Гладков С. М., Каримов М. Г., Коротеев Н. И. ЖЭТФ, 1983, 84, с. 1664. [5] Задков В. Н., Коротеев Н. И., Рычев М. В., Федоров А. Б. Вестн. Моск. ун-та. Физ. Астрон., 1984, 25, № 4, с. 27. [6] В loembergen N., Shen Y. R. Phys. Rev., 1964, 133, р. АЗ7. [7] Воу d R. W., Raymer М. G., Narum P., Harter D. J. Phys. Rev., 1981, A24, р. 411. [8] Каізег W., Маіег М., Gіог d mаіпе J. А. Phys. Rev., 1969, 177, р. 580. [9] Ахманов С. А., Коротеев Н. И. Методы нелинейной оптики в спектроскопии рассеяния света. М.: Наука, 1981. [10] Дьяков Ю. Е., Никитин С. Ю. Вестн. Моск. ун-та. Физ. Астрон., 1984, 25, № 5, с. 41. [11] Дьяков Ю. Е., Никитин С. Ю. В кн.: Тез. докл. Всесоюз. конф. по когерентной и нелинейной оптике. М., 1985, с. 221; Дьяков Ю. Е., Никитин С. Ю. Задачи по статистической радиофизике и оптике. М.: Изднов МГУ, 1985, с. 106. [12] Schwarz S. E., Тап Т. У. Аррі. Рhys. Lett., 1967, 10, р. 4. [13] Ні11-тап L. W., Воу d R. W., Кгазіпsкі J., Stroud C. R. Opt. Comm., 1983, 45, р. 416. [14] Воу d R. W., Микатеі S. Phys. Rev., 1984, A29, р. 1973.

Поступила в редакцию 31.05.85

ВЕСТН. МОСК. УН-ТА. СЕР. 3. ФИЗИКА. АСТРОНОМИЯ, 1986, Т. 27, № 4

УДК 535.41

дифракционная теория многолучевого интерферометра

А. В. Белинский, А. С. Чиркин

(кафедра общей физики и волновых процессов; кафедра научной информации МГУ)

Широкое использование многолучевых интерферометров, в особенности интерферометра Фабри—Перо, при самых разнообразных спектральных измерениях обусловливает необходимость разработки адекватной теории этих устройств, учитывающей дифракционные эффекты.

Дифракционная теория оптических резонаторов лазеров, в том числе и резонатора Фабри—Перо, развита в ряде работ [1—3] и, по существу, полностью исчерпывает данный вопрос. Вместе с тем характер стационарных колебаний в многолучевом интерферометре и в таком же резонаторе существенно различен. Это связано с тем, что интерферометр работает как пассивный прибор, к которому в отличие от резонатора непрерывно подводится внешнее, освещающее интерферометр излучение. Обычно считают, что в интерферометре Фабри—Перо (ИФП) имеет место резонанс совокупности плоских волн, распространяющихся под определенными углами, и поле в ИФП представляет собой поле однородных плоских волн [2, 4], что, строго говоря, справедливо лишь в случае бесконечных зеркал. Поэтому задача разработки дифракционной теории многолучевого интерферометра с учетом конечных размеров зеркал по-прежнему остается актуальной. Решению этого вопроса на основе модового подхода посвящена данная работа.

Рассмотрение будем производить на примере ИФП с плоскими зеркалами. Излагаемый же ниже общий подход справедлив, разумеется, и для интерферометров со сферическими и цилиндрическими зеркалами.